Visibilité : Privée

AiryLab. 12 impasse de la Cour, 83560 Vinon sur Verdon

Rapport de mesure

Référence	2012-43001
Date	16/10/2012
Opérateur	FJ
Procédure de mesure	PB-DP
Haso	HA-4333
LIP	LI-1028
Objectif(s)	MOD32-4
Miroir	RS-530

Client	***
Type d'optique	Newton
Fabricant	OO UK
Nom/modèle	СТ8
S/N	

Longueur d'onde
473
543
635
805

Termes d'aberration pris en compte dans les résultats			
Tilt X			
Tilt Y			
Focus			
Astig 0°			
Astig 45°			
Coma 0°			
Coma 90°			
Sphérique			

Incertitude PTV	9,86 nm
Incertitude RMS	0,60 nm
Interpolation	X2
Mode	Zonal + modal
référence	Oui
Mesures moyennées	200
Double passage	Oui
température	20°
Sous pupilles	-
Conjugaison de pupille	Oui

Essais réalisés		
Centrage sur l'axe ⁽¹⁾	RA	
Mesure sur l'axe	Oui	
Mesure chromatisme	Oui	
Mesure sur mécanique	Oui	
Alignement optique (« collimation »)	Oui	
Mesure dans le champ	Oui	
Courbure de champ	Oui	
Système correcteur	Oui	
Conjugaison	∞ Foyer	

 $^{^{(1)}}$: RR rétroréflexion laser HENE, RA réduction des aberrations de champ.

Visibilité : Privée

Sommaire

1		Données théoriques3			
2		Visu	ualisa	ation du miroir primaire par contraste de phase	4
3		Mes	sure	de front d'onde sur l'axe optique	5
	3.	3.1 Me		sure à 635nm	5
		3.1.	.1	Front d'onde	5
		3.1.	.2	Front d'onde hors astigmatisme de 3eme ordre	6
		3.1.	.3	Front d'onde résiduel après retrait des 33 premiers termes de Zernike	7
		3.1.	.4	PSF	8
4		Mes	sure	de front d'onde avec correcteur de coma TS	9
	4.	1	Mes	sure à 635nm	9
		4.1.	.1	Front d'onde	9
		4.1.2		Décomposition en polynôme de Zernike	10
		4.1.	.3	PSF	11
		4.1.	.4	Spot diagram	11
	4.2	2	Mes	sure à 543 nm	12
		4.2.	.1	Front d'onde	12
	4.3	3	Mes	sure à 473 nm	13
		4.3.	.1	Front d'onde	13
	4.4	4	Chr	omatisme	14
		4.4.	.1	Décalage des meilleurs foci sur l'axe	14
	4.	5	Mes	sure dans le champ à 635nm	14
		4.5.	.1	Courbure de champ	14
		4.5.	.2	Spot diagram	15

Visibilité: Privée

1 Données théoriques

Focale: 900mm. Pupille: 200mm.

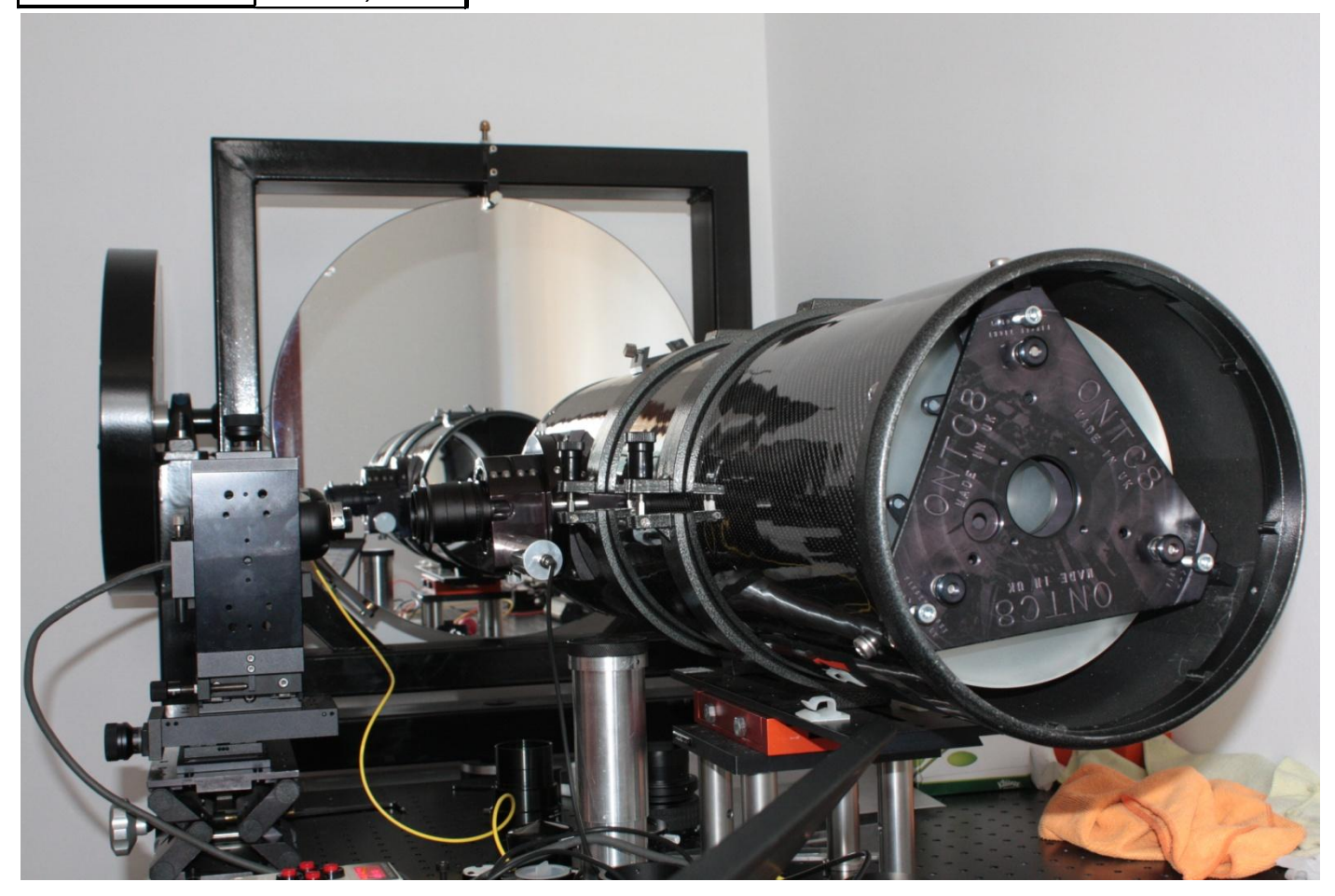
Nombre d'ouverture : 4,5

Diamètre théorique de la tâche de diffraction :

Focale	900
Diamètre	200
Longueur d'onde	Taille PSF μm
635	6,97
543	5,96
473	5,19

Fréquences théoriques de coupure de la fonction de transfert de modulation (MTF) en cycles/mm

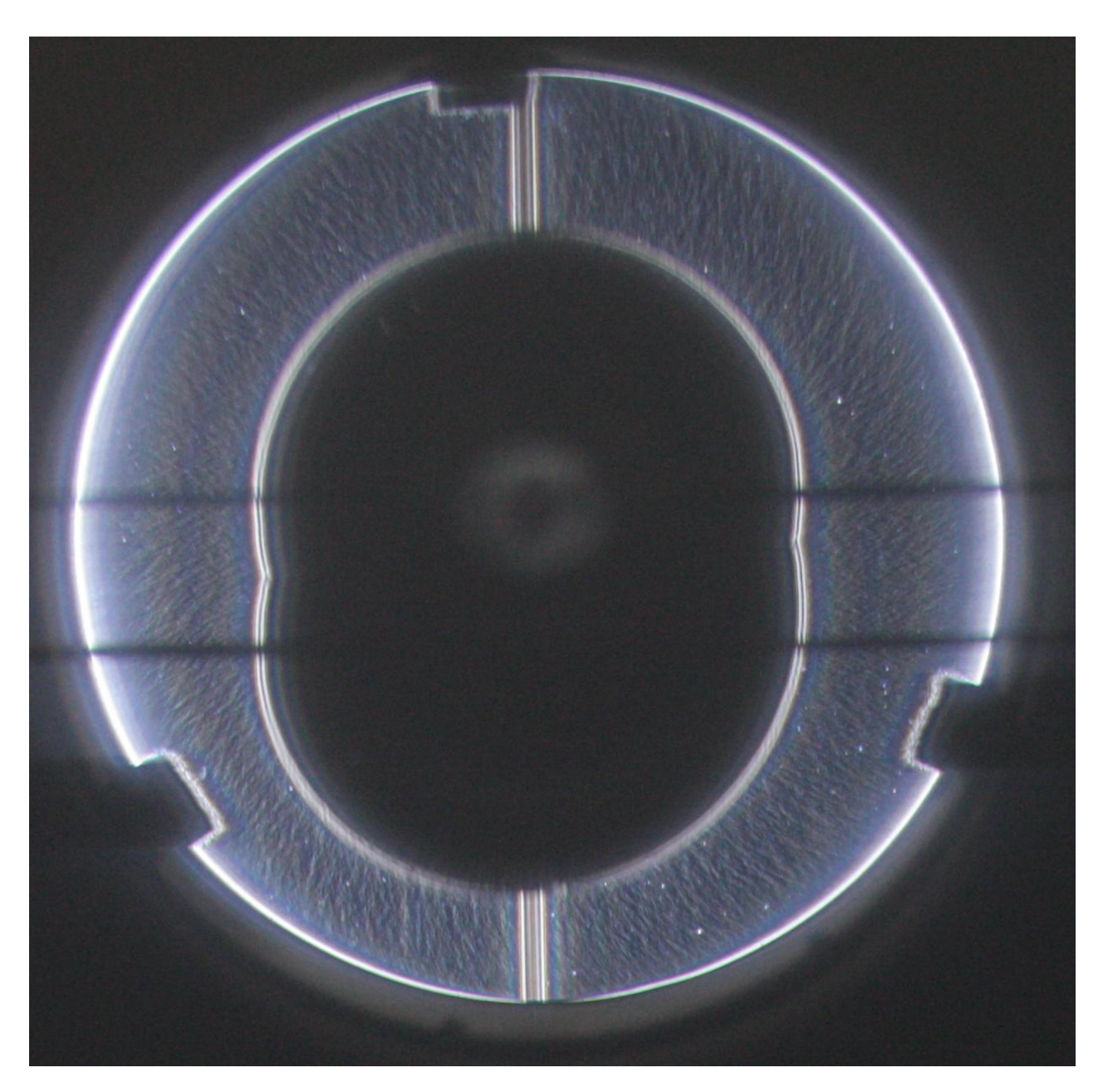
Focale	900
Diamètre	200
Longueur d'onde	Coupure
635	349,96
543	409,25
473	469,81



Visibilité: Privée

2 Visualisation du miroir primaire par contraste de phase

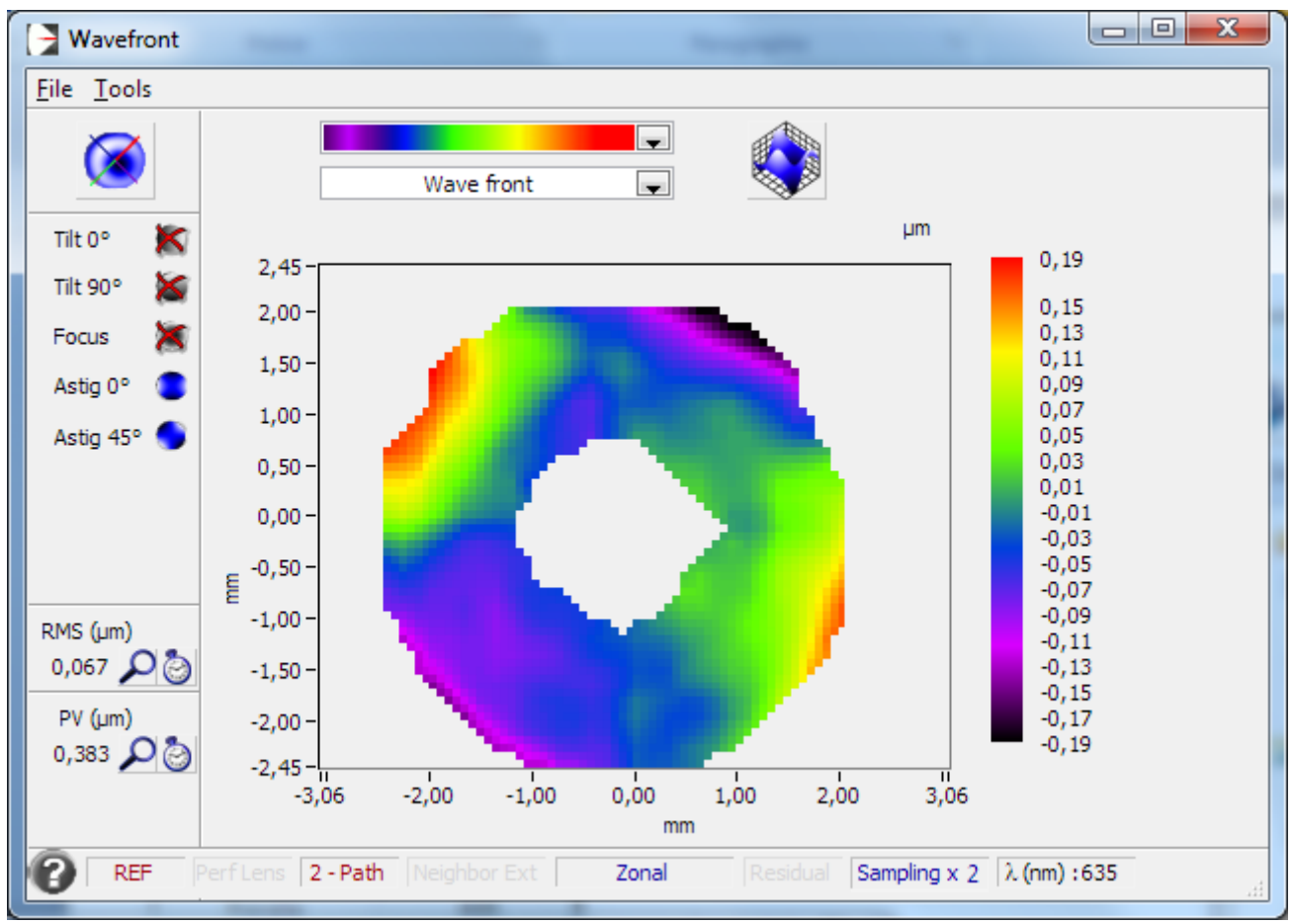
Densité 1,75, trait 0,25mm, fente 0,2mm



3 Mesure de front d'onde sur l'axe optique

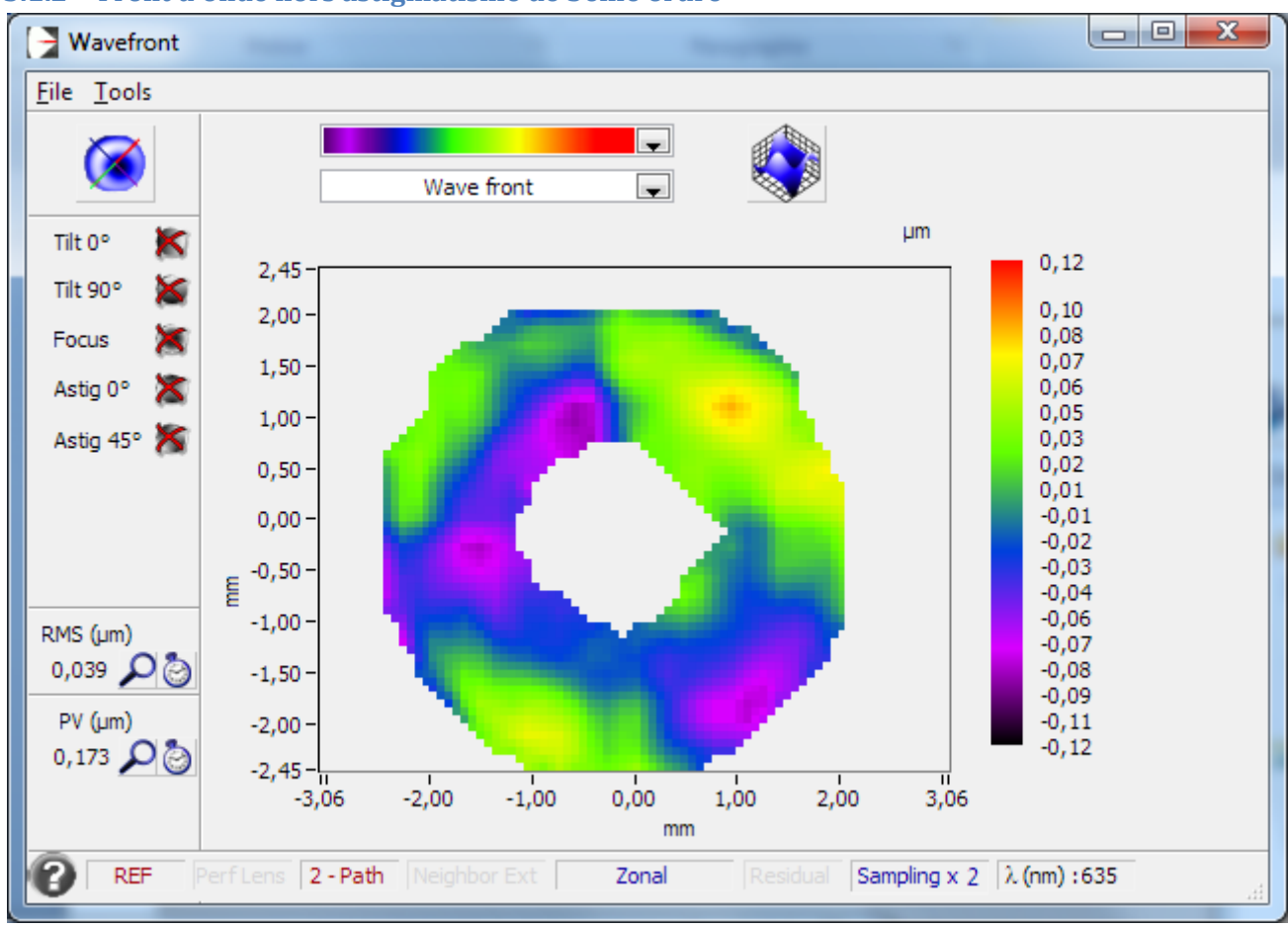
3.1 Mesure à 635nm

3.1.1 Front d'onde



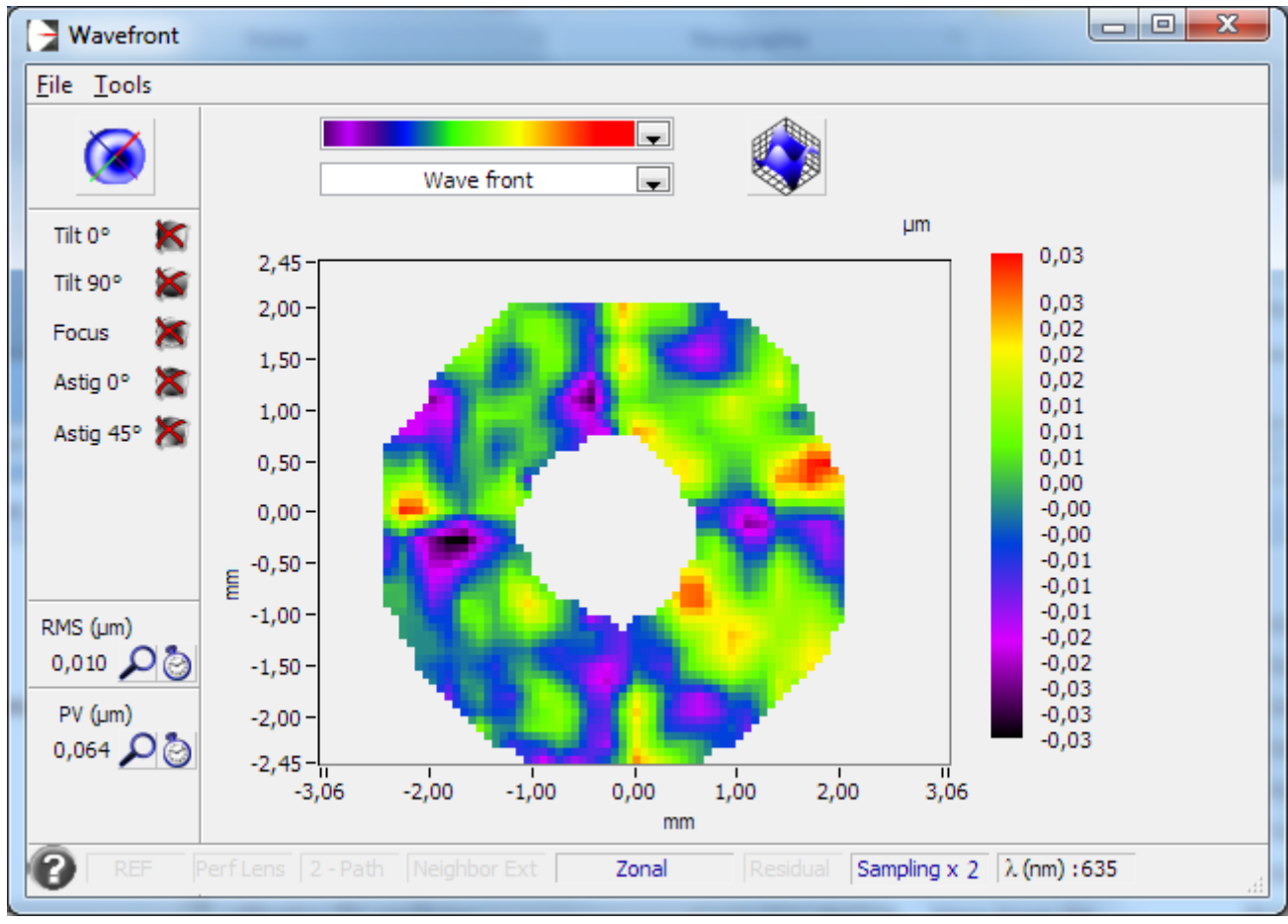
Un astigmatisme de 3eme ordre est le principal contributeur à l'erreur. Cette erreur est probablement induite par la mesure à l'horizontale.

3.1.2 Front d'onde hors astigmatisme de 3eme ordre

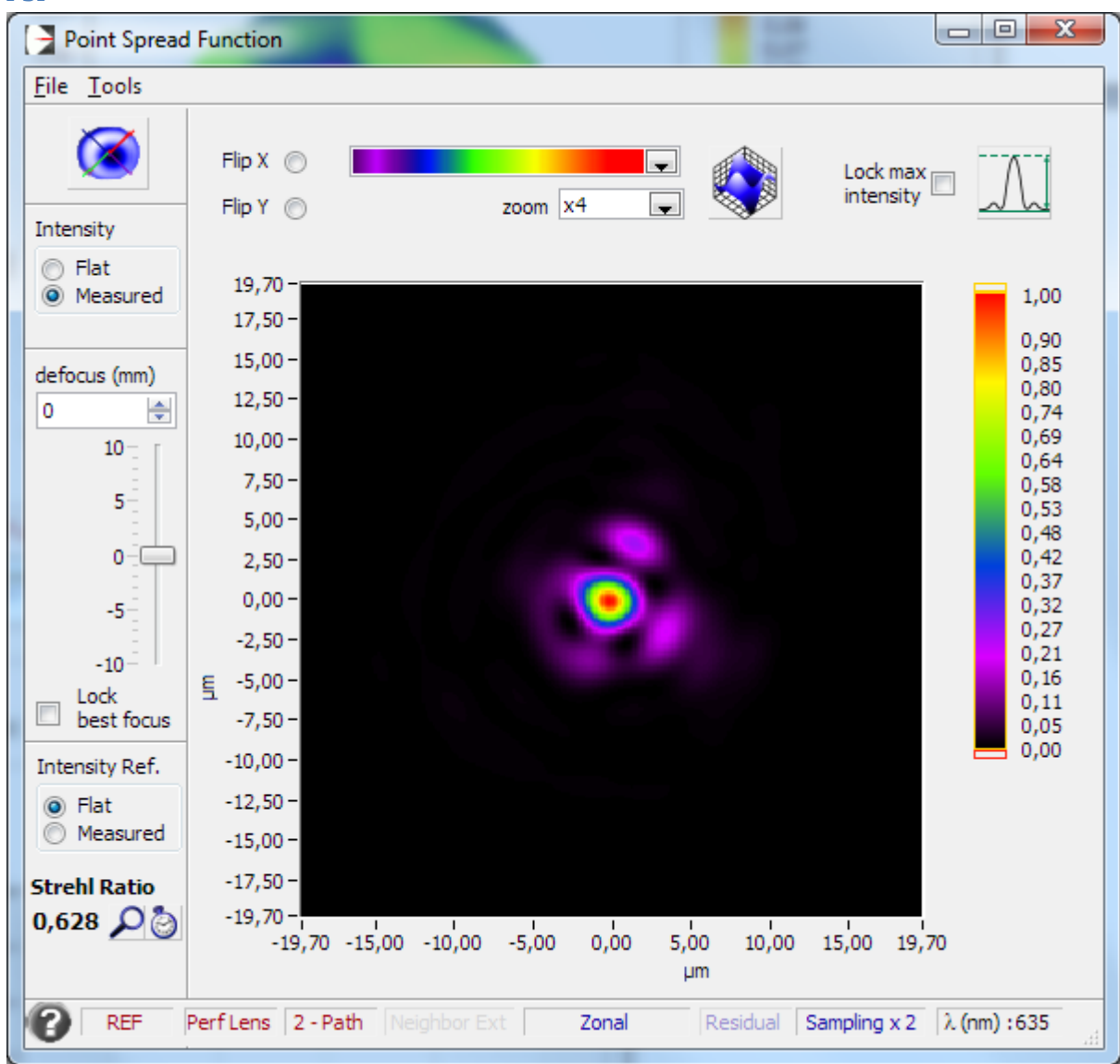


Visibilité: Privée

3.1.3 Front d'onde résiduel après retrait des 33 premiers termes de Zernike



3.1.4 PSF



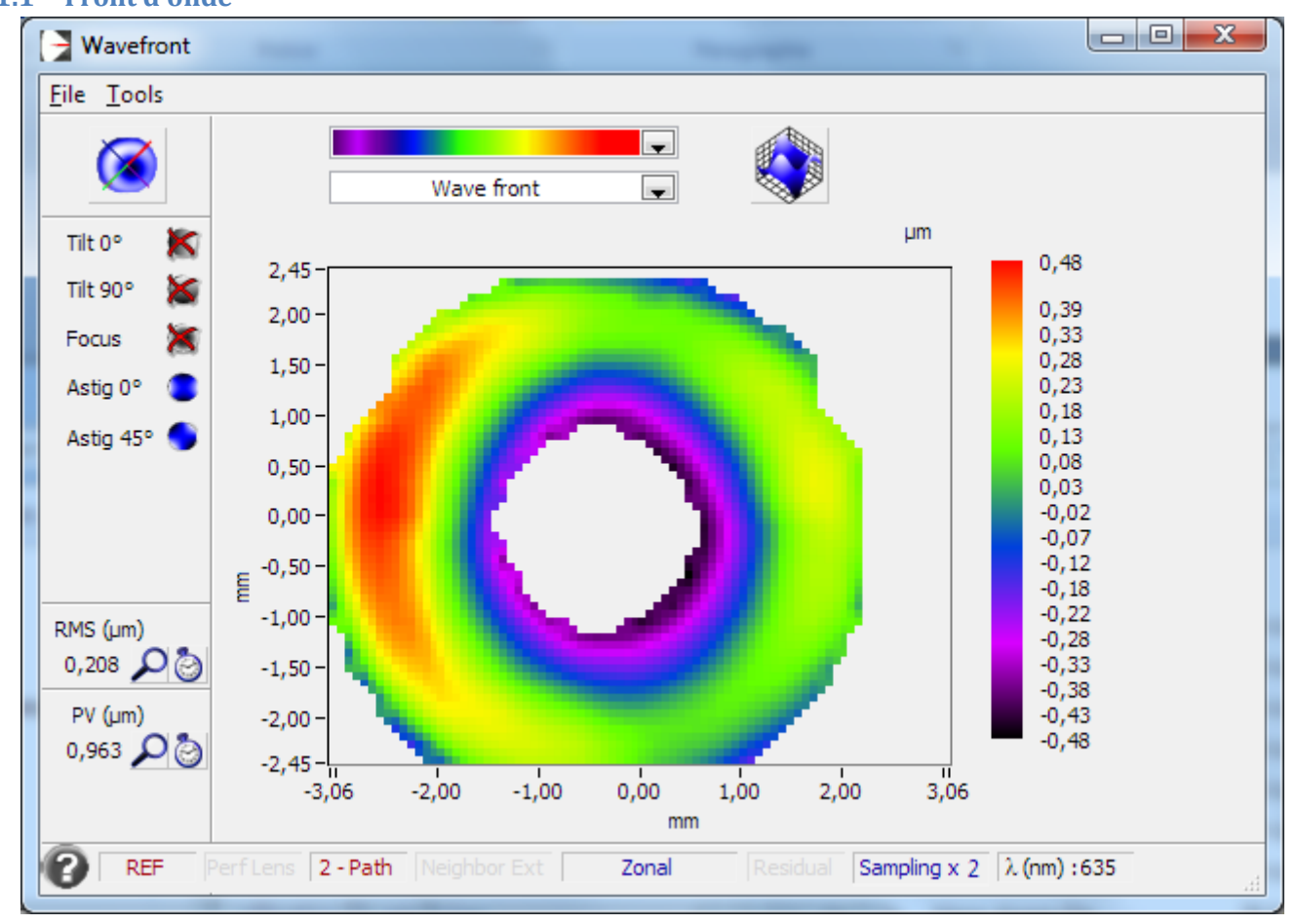
Note : avec astigmatisme de 3eme ordre.

4 Mesure de front d'onde avec correcteur de coma TS

Note: le correcteur rentre le foyer d'environ 4,5mm. Back focus 56mm.

4.1 Mesure à 635nm

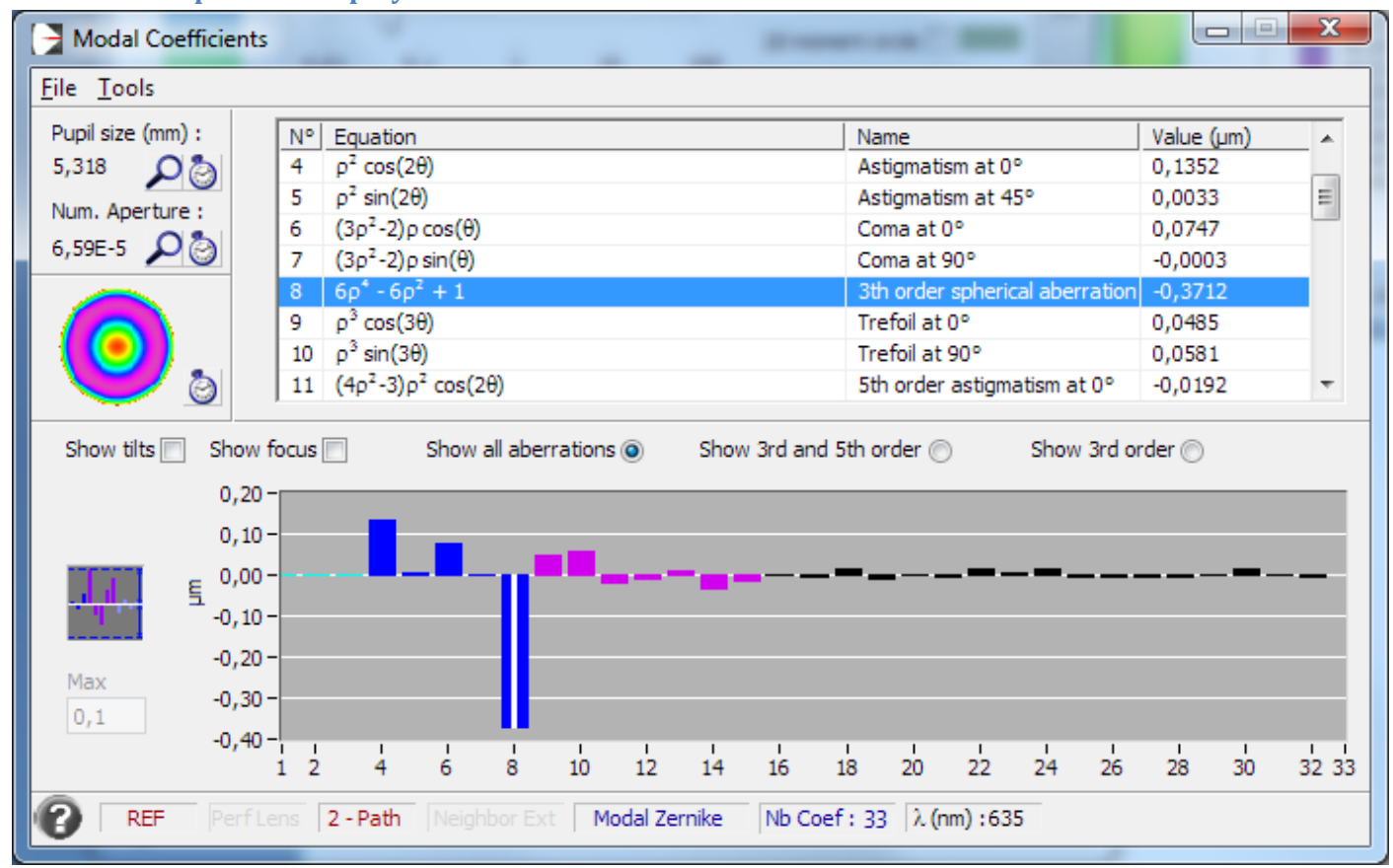
4.1.1 Front d'onde



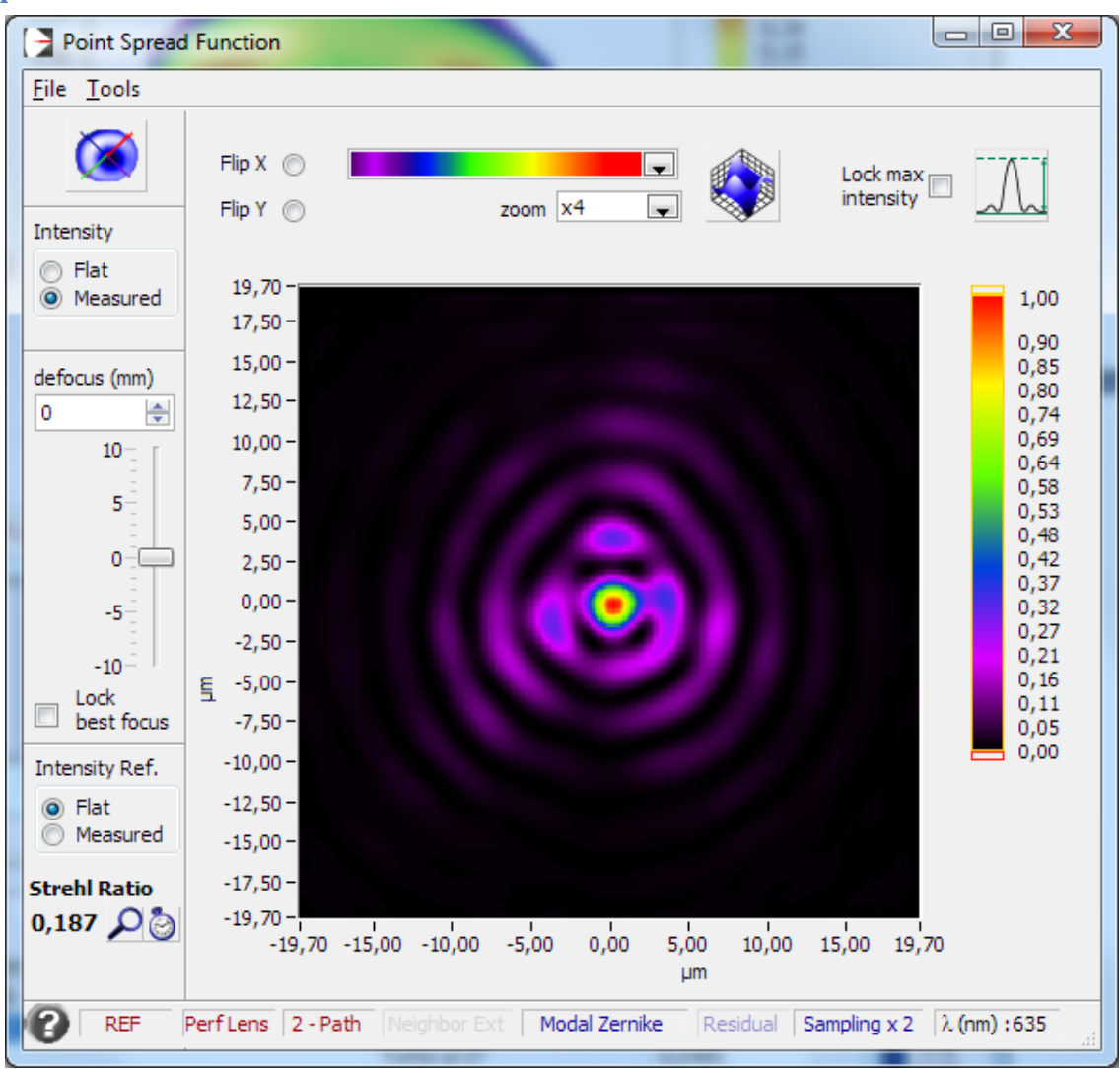
Le principal contributeur est l'aberration sphérique de 3eme ordre.

Visibilité: Privée

Décomposition en polynôme de Zernike



4.1.3 PSF



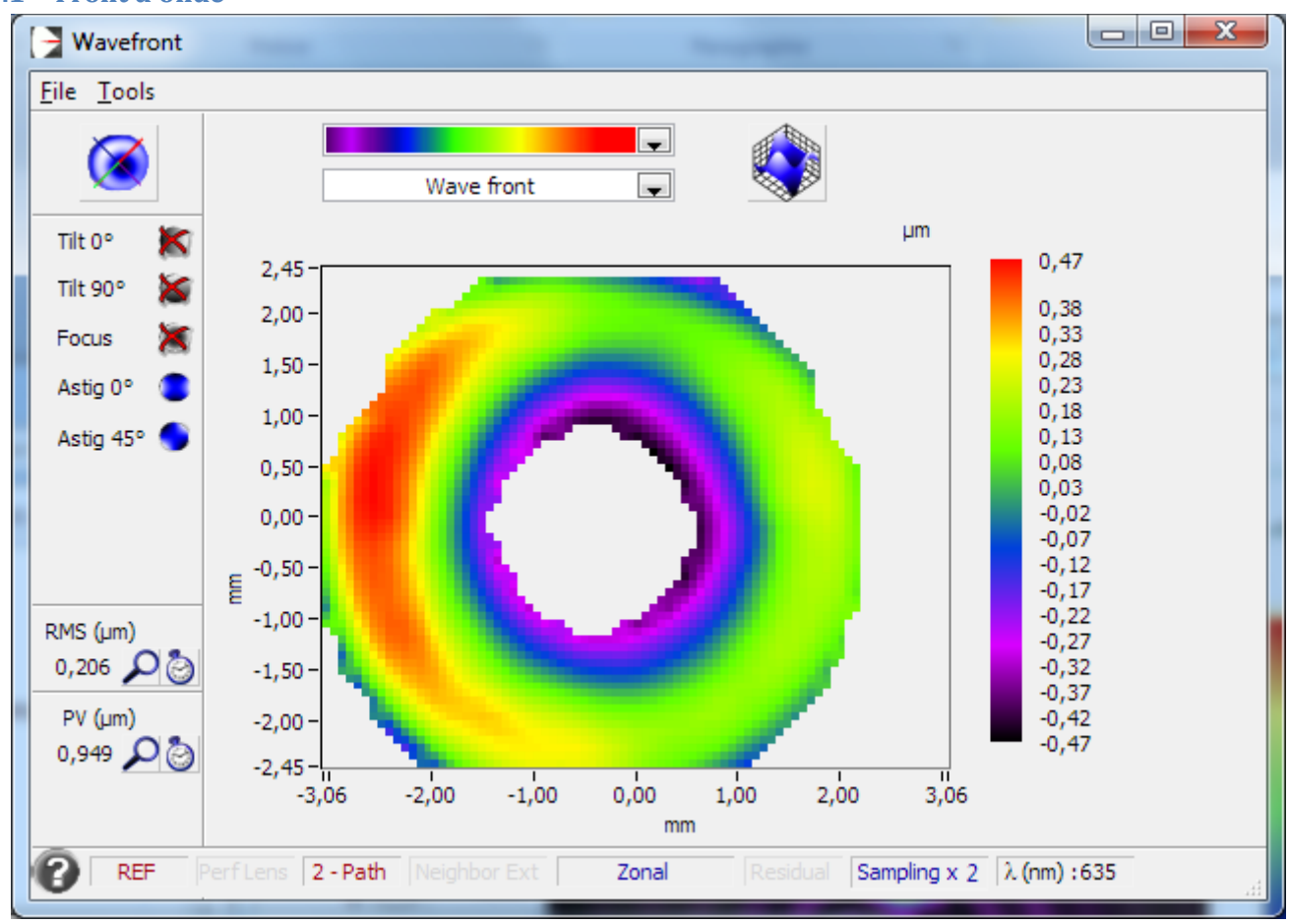
4.1.4 Spot diagram

Le cercle est la taille théorique de la tâche de diffraction.



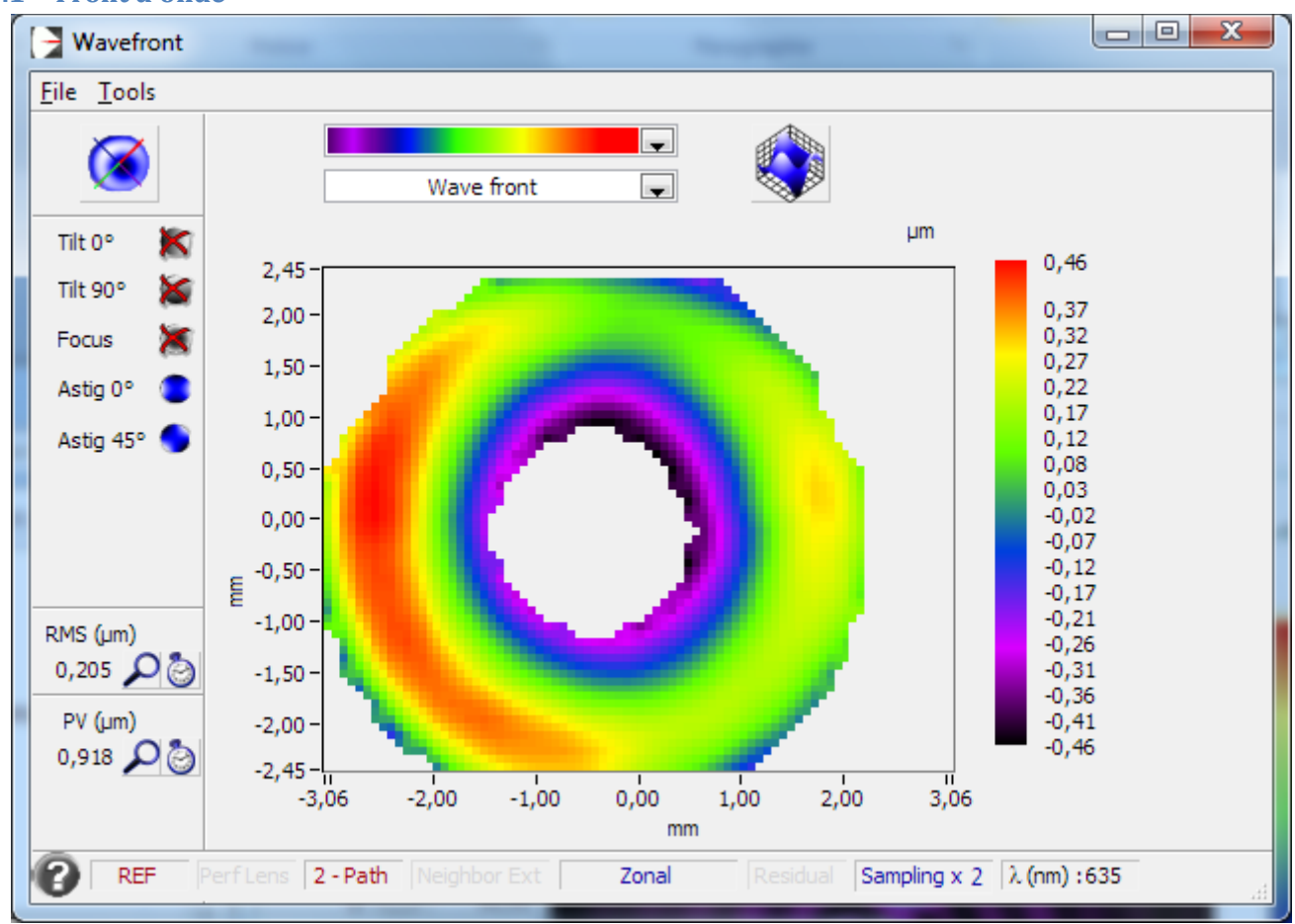
4.2 Mesure à 543 nm

4.2.1 Front d'onde



4.3 Mesure à 473 nm

4.3.1 Front d'onde



Visibilité: Privée

4.4 Chromatisme

4.4.1 Décalage des meilleurs foci sur l'axe

Rouge 635 nm	0
Vert 543 nm	0 µm
Bleu 473 nm	40 µm

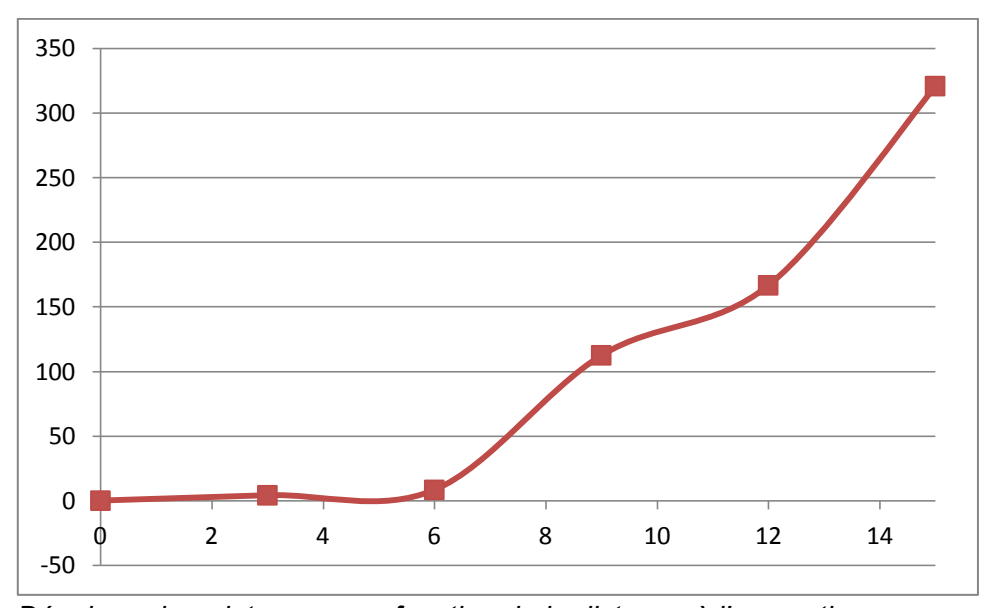
4.5 Mesure dans le champ à 635nm

4.5.1 Courbure de champ

Mesure de 0 à 15mm

Cercle de pleine lumière : <24 mm

Rayon de courbure de Petzval mesuré : 200 Décalage du point à 15mm de l'axe : 321 µm



Décalage du point en µm en fonction de la distance à l'axe optique en mm

Visibilité: Privée

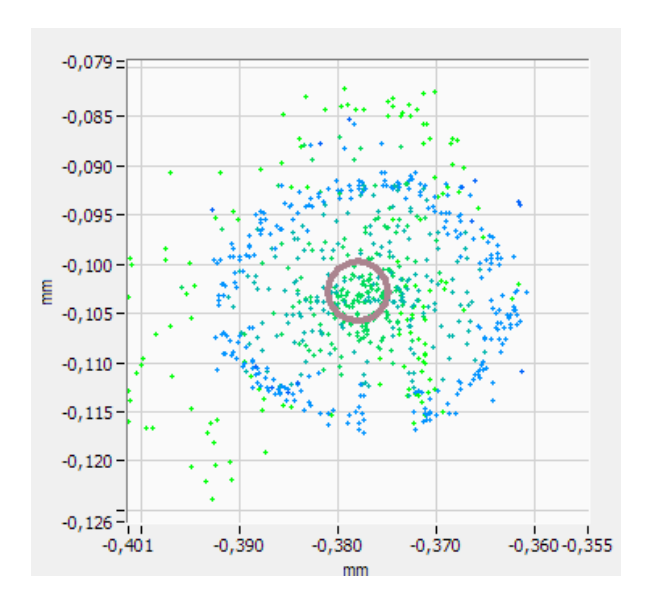
4.5.2 Spot diagram

Le cercle représente la taille théorique de la tâche de diffraction.

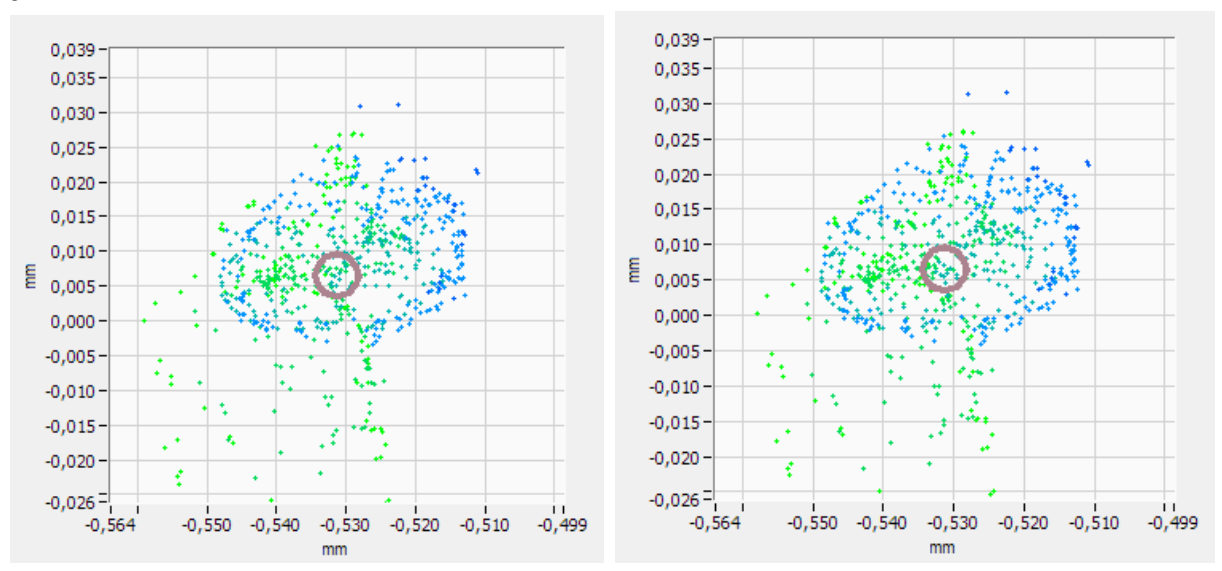
Les points verts représentent les rayons marginaux (extérieur de la pupille), les bleus les rayons paraxiaux (proche de l'axe optique).

Les *spot diagrams* dans le champ sont donnés sans prendre en compte la courbure de champ à gauche (cas d'une utilisation avec un oculaire), et avec la défocalisation due à la courbure de champ à droite (cas d'une utilisation avec un film/capteur plan).

Sur l'axe



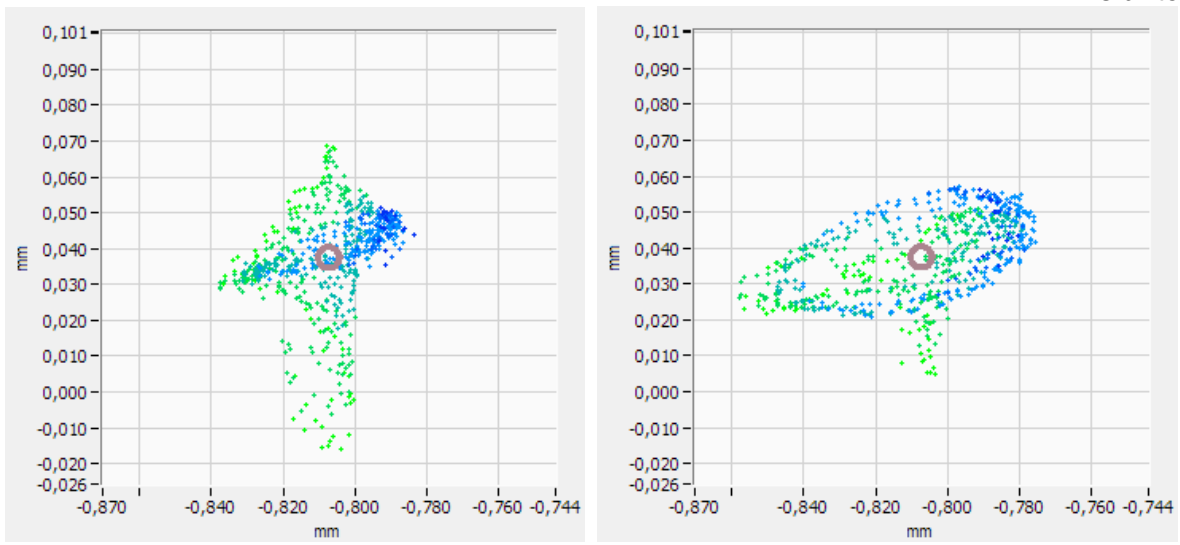
6mm



Focalisé / défocalisé

12mm

Visibilité: Privée



Focalisé / défocalisé

Référence : 2	2012-43001 FJ	
---------------	---------------	--

Visibilité : Privée

Fin du document.